

محیط‌های انسانی، دوره ۲۷، شماره ۲، تابستان ۱۳۹۵، صفحه ۳۴۱-۳۶۹

## کاربرد شبکه عصبی پرسپترون چندلایه (MLP) در مکان‌یابی دفن پسماند جامد شهری با تأکید بر خصوصیات هیدرولوژیک و مورفیک (مطالعه موردی: شهرستان فریدون‌شهر)

علیرضا عرب عامری<sup>۱\*</sup>، کورش شیرازی<sup>۲</sup>، جلال کرمی<sup>۳</sup>، عبدالله کلورازان<sup>۴</sup>

۱. دانشجوی دکتری زیست‌محیطی دانشگاه تربیت مدرس  
۲. استادیار مرکز تحقیقات کشاورزی و منابع طبیعی استان اصفهان  
۳. استادیار منبع‌های دور دانشگاه تربیت مدرس  
۴. کارشناس ارشد سنجش از دور دانشگاه تربیت مدرس

تاریخ پذیرش مقاله: ۱۳۹۵/۲/۲۲

تاریخ وصول مقاله: ۱۳۹۴/۸/۴

### چکیده

به تبع افزایش جمعیت شهری و در نتیجه افزایش تولید پسماند، پاقتن محل مناسب به منظور دفن پسماند ضرورت دارد. با توجه به عوامل مختلف مؤثر در مکان‌یابی محل دفن و سمعت زیاد منطقه مورد مطالعه، روش‌های سنتی برای مکان‌یابی بسیار وقت‌گیر، هزینه‌بر و کم‌دققت است. بدین‌منظور، در این پژوهش از شبکه عصبی پرسپترون چندلایه با الگوریتم آموزش لوربرک-مارگویت استفاده شد.تابع سیگموئید لگاریتمی بهمنزله تابع فعال سازی برای هر واحد پردازشگر در شبکه انتخاب شد. آموزش داده‌ها با ۱۲ پارامتر ورودی شامل فاصله از آبراهه، فاصله از چاه، فاصله از گسل، لیتوژوژی، پوشش گل‌های و کاربری اراضی، شیب، چهت شیب، فاصله از سکونتگاه طبقات ارتفاعی، بلندی، سطح آب زیرزمینی و نقشه همبارش، ۲ لایه پنهان و یک لایه خروجی که نقشه پهن‌بندی را نشان می‌دهد انجام شد. برای محاسبه سنجی مدل از شاخص‌های آماری میانگین مربعات خطأ، جذر میانگین مربعات خطأ و ضریب تمیز استفاده شد. در نهایت پس از تعیین بهترین ساختار شبکه مدل اجرا و منطقه مورد مطالعه به ۵ کلام خیلی مساعد، مساعد نسبتاً مساعد، ناساعد و خیلی ناساعد طبقه‌بندی شد. بهترین دقت مدل ۰/۹۹ به دست آمد که به این‌گویی کارایی بالای پرسپترون چندلایه برای پهن‌بندی است.

### کلیدواژه

پرسپترون چندلایه، شهرستان فریدون‌شهر، دفع پسماند، مکان‌یابی.

تولید فزاینده و پیچیده مواد زائد سبب تهدید بیشتر محیط‌زیست می‌شوند. تخمین زده می‌شود مقدار ۱/۷ تا ۱/۹ میلیون تن در سراسر جهان مواد زائد جامد شهری تولید می‌شود (Chalmin & Gaillochet, 2009). در بسیاری از موارد مواد زائد شهری در کشورهای در حال توسعه خوب مدیریت نمی‌شوند. بیش از ۵۰ درصد از مواد

۱. سآغاز رشد روزافزون جمعیت و افزایش شهرنشینی در کنار کاهش منابع تجدیدناپذیر و قرار گرفتن این منابع در معرض ضایعات سمی و خطرناک از بزرگ‌ترین مشکلات محیط‌زیست است که برای حفظ زندگی انسان‌ها باید این معضلات برطرف شوند (Allen, et al., 1997). شهرها با

یک از مکان‌های دفن پسماند دارای معایب و مزایایی است و مکان انتخابی برای دفن نهایی باید دارای کمترین معایب و بیشترین منافع باشد، لذا به منظور نیل به این هدف مهم، در این پژوهش از شبکه عصبی پرسپترون چندلایه برای پیش‌بینی بهترین مکان دفن پسماند استفاده شده است. پیش‌بینی یکی از کاربردهای اصلی شبکه عصبی مصنوعی است (Sharda, 1994). شبکه‌های عصبی مصنوعی، در اصل به تقلید از سیستم‌های عصبی ریستی مفرز انسان توسعه یافته‌اند (Reilly & Cooper, 1990). از مؤثراتی مدل‌های شبکه عصبی می‌توان به مدل‌های پرسپترون چندلایه (MLP) اشاره کرد. شبکه‌های پرسپترون چندلایه (MLP) در طیف گسترده‌ای از مشکلات مخصوصاً در پیش‌بینی به دلیل قابلیت ذاتی آن‌ها در تهیه نقشه‌های ورودی-خروجی دلخواه استفاده می‌شود. مطالعات متعددی در زمینه پسماندهای شهری شکل گرفته است به گونه‌ای که Noori Jalili Zade و Noori (در سال ۲۰۰۸) تولید مواد جامد شهری با استفاده از شبکه عصبی مصنوعی در شهرستان مشهد را پیش‌بینی کردند و به این نتیجه رسیدند که مدل شبکه عصبی مصنوعی امتیازات و مزایای بیشتری نسبت به مدل‌های سنتی برای پیش‌بینی تولید مواد جامد شهری دارد. Noori و همکاران (۲۰۰۹) نتایج عدم قطعیت پیش‌بینی تولید مواد جامد با استفاده از مدل‌های WT-ANFIS و ANFIS را بررسی کردند و به این نتیجه رسیدند که مدل WT-ANFIS به علت عدم قطعیت کوچک‌تر نسبت به مدل WT-ANN دارای نتایج بهتری است. آن‌ها همچنین تولید مواد جامد شهری با استفاده از ترکیب مدل‌های ماشین‌های پشتیبان وکتور و آنالیز مؤلفه‌های اصلی در شهرستان مشهد را پیش‌بینی کردند و به این نتیجه رسیدند که مدلی که در این مقاله استفاده کردند از نسبت به مدل سنتی ماشین‌های پشتیبان بردار برای پیش‌بینی تولید زیاله دارای مزایای بیشتری است. Noori و همکاران (۲۰۰۹) همچنین روش شبکه عصبی و مدل PCA برای پیش‌بینی تولید پسماند جامد در شهرستان

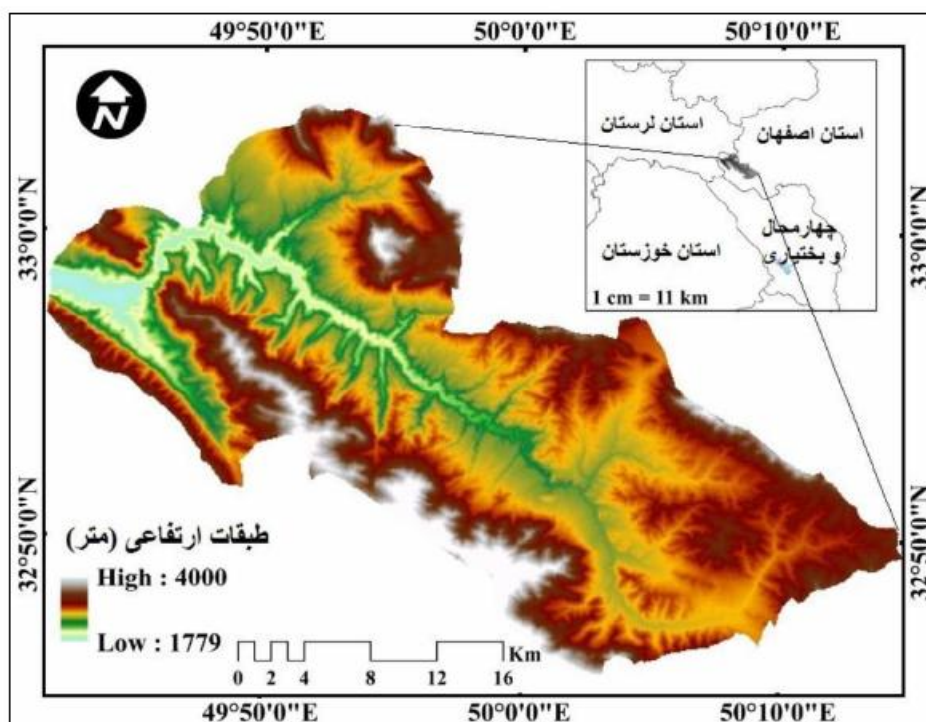
زاده جمع‌آوری شده از طریق دفن کنترل‌نشده دفع و ۱۵ درصد بازیافت غیراصولی و خطرناک می‌شوند (Chandak, 2010). مواد زائد جامد شهری نتیجه طبیعی فعالیت‌های انسانی است و اگر از سیستم مدیریت مناسب برای این مشکل استفاده نشود ممکن است به آلودگی محیطی و به خطر انداختن سلامتی انسان‌ها منجر شود (Noori, et al., 2008). مکان‌یابی محل دفن پسماند در مناطق شهری به دلیل تأثیر روی اقتصاد، اکولوژی و سلامت محیط‌زیست از مهم‌ترین مسائل در برنامه‌ریزی محیط‌زیست است (Sener, 2010). از این رو مدیریت صحیح و دفع اصولی پسماندها، اصلی‌ترین نگرش در جهان، به خصوص در کشورهای توسعه‌یافته است (Kontos, et al., 2005). دفن بهداشتی پسماند در حال حاضر رایج‌ترین روش در بسیاری از کشورها از جمله ایران است (Muluturk & Karaguzel, 2007; Nas, et al., 2010; Komilis, et al., 1999). مهم‌ترین نگرانی انتخاب مناسب‌ترین مکان برای دفع پسماند است (Kuo, et al., 2002). شرایط حاکم بر کشور و بدویژه حاکم بر شهرستان فریدون‌شهر (فقدان داشت و تکنولوژی قوی در خصوص مسئله پسماند به دلیل مختلف از جمله نوبایودن مراکز علمی و تکنولوژی در این زمینه، وجود آلودگی‌های زیست‌محیطی و سیستم‌های مدیریت پسماند نویسا با هزینه‌های اقتصادی و زیست‌محیطی بالا) در کنار پیچیدگی‌هایی که به طور معمول در مطالعات سیستم‌های مدیریت پسماند وجود دارد مسئله تصمیم‌گیری برای انتخاب مکان بهینه دفن پسماند را پیش از پیش دشوار می‌کند. حل این مشکل مستلزم طی فرایند منسجم و علمی به منظور اتخاذ تصمیمی درست و مبتنی بر اصول علمی است. چنین فرایندی مستلزم ساختاردهی مسئله در یک قالب روشن است که از یک سو کلیه فاکتورها و معیارهای دخیل در تصمیم‌گیری را به نحو شایسته‌ای دربر گیرد و از سوی دیگر امکان قضاوت‌های آگاهانه و به دور از سردرگم شدن در اثبوه مسائل موجود را فراهم کند. در نگاه نخست هر

تحلیل شبکه‌ای فازی (Fuzzy ANP) در شناسایی مکان بهینه ایستگاه‌های انتقال پسماند در شهرستان اصفهان استفاده کردند. در این پژوهش سعی بر آن است تا با استفاده از شبکه عصبی چند لایه و با استفاده از معیارهای فاصله از آبراهه، فاصله از جاده، فاصله از گسل، لیتل ولزی، پوشش گیاهی و کاربری اراضی، شبب، جهت شبب، فاصله از سکونتگاه، طبقات ارتفاعی، سطح آب زیرزمینی، بالات خاک و نقشه همبارش بهترین مکان برای دفن پسماندهای شهری پیش‌بینی شود.

## ۲. مواد و روش بروزی

منطقه فridون شهر در حد فاصل طول چغرافیایی ۴۹ درجه و ۳۶ دقیقه تا ۵۰ درجه و ۱۹ دقیقه طول شرقی و عرض چغرافیایی ۳۲ درجه و ۳۷ دقیقه تا ۳۳ درجه و ۵ دقیقه عرض شمالی قرار دارد. وسعت منطقه مورد مطالعه ۷۶۴۶ هکتار است. در شکل ۱ موقعیت منطقه مورد مطالعه نشان داده شده است.

تهران را مقایسه کردند و به این نتیجه رسیدند که مدل شبکه عصبی نتایج بهتری در مقایسه با مدل PCA داشته است و در نتیجه برای پیش‌بینی تولید زباله در تهران از مدل شبکه عصبی استفاده کردند. آن‌ها در سال ۲۰۱۰ تکنیک‌های تست گاما و PCA برای پیش‌بینی مواد زاید چامد هفتگی را ارزیابی کردند و به این نتیجه رسیدند که نسبت به مدل GT-ANN و PCA-ANN نسبت به مدل ANN برای پیش‌بینی مواد چامد هفتگی دارای نتایج بهتری هستند. عبدالی و همکاران (۱۳۸۶) زباله‌های تولیدی تهران را با استفاده از شبکه عصبی مصنوعی و روش‌های آماری چندمتغیره پیش‌بینی کردند نوری و همکاران (۱۳۸۸) زباله تولیدی هفتگی را با استفاده از مدل ترکیبی شبکه عصبی و تبدیل موجک پیش‌بینی کردند و به این نتیجه رسیدند که استفاده از تبدیل موجک در پیش‌پردازش متغیرهای بروزی، تأثیر مثبتی در پیش‌بینی میزان تولید هفتگی ایجاد کرده است، به طوری که موجب افزایش چشمگیر در دقت محاسبات مدل شد. عشورنژاد و همکاران (۱۳۹۲) از فرایند



شکل ۱. موقعیت ریاضی منطقه مورد مطالعه

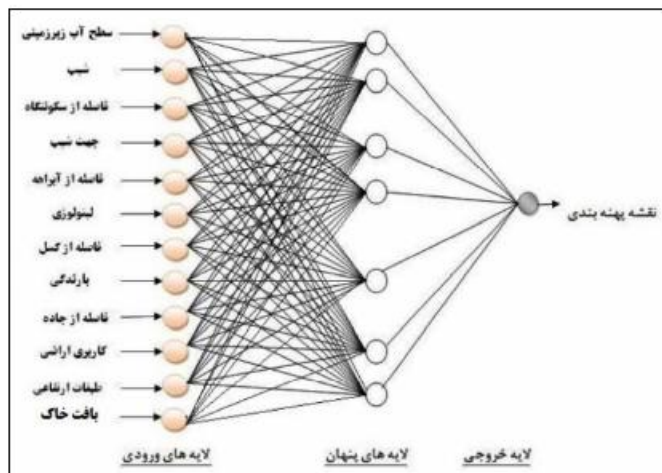
منطقه بر مدل رقومی ارتفاعی، نقشه طبقات بارش منطقه تهیه شد. برای تهیه نقشه فاصله از گسل از داده‌های ماهواره‌ای ENVI 4.7 در محیط نرم‌افزار ETM+2002 استفاده شد. نقشه فاصله از جاده و فاصله از شبکه زمکشی با طبقه‌بندی فواصل معین از شبکه جاده و شبکه هیدروگرافی رقومی شده از نقشه توپوگرافی منطقه تهیه شد. لایه فاصله از سکونتگاه از طریق رقومی کردن لایه‌های سکونتگاه‌های شهری و روستایی و ابزار Distance براساس Spatial Analyses نتهیه شد. براساس طبقه‌بندی نظارت‌نشده تصویر ماهواره‌ای تصحیح شده ندست ETM+ و بازدید صحراوی و کنترل صحت، نقشه کاربری اراضی منطقه تهیه شد. همچنین، براساس تفکیک و رقومی کردن پلی‌گون‌های واحدهای سنگ‌شناسی از نقشه زمین‌شناسی با مقیاس ۱:۱۰۰۰۰ در محیط نرم‌افزار ArcGIS10.2 نقشه زمین‌شناسی منطقه تهیه شد.

در این پژوهش، در شیوه‌سازی فرایند پهن‌بندی مکان مناسب دفن پس‌ماند شهری، شبکه پرسپکtron چندلایه<sup>۱</sup> با الگوریتم پس‌انتشار آنتخاب شد. شبکه مذکور در محیط MATLAB اجرا شد که در آن امکان تغییر تمامی پارامترهای مربوط به طراحی ساختار مناسب شبکه وجود دارد. تابع خیرخطی سیگموئید<sup>۲</sup> لگاریتمی بهمنزله تابع تبدیل فعالیت شبکه استفاده شد. مقادیر عوامل مؤثر در پیش‌بینی مکان مناسب دفع پس‌ماندهای شهری از جمله فاصله از آبراهه، فاصله از جاده، فاصله از گسل، لیتوژئی، پوشش گیاهی و کاربری اراضی، شبب، جهت شبب، فاصله از سکونتگاه، طبقات ارتفاعی، نقشه همباران، نقشه سطح آب زیرزمینی و بافت خاک (عوامل لیتوژئی، پوشش گیاهی، کاربری اراضی، بافت خاک و جهت شبب قبل از ورود به شبکه کمی شد) مبنای ورودی و مکان مناسب برای دفن پس‌ماند بهمنزله تابع هدف (خروچی) در نظر گرفته شد (نمودار ۱).

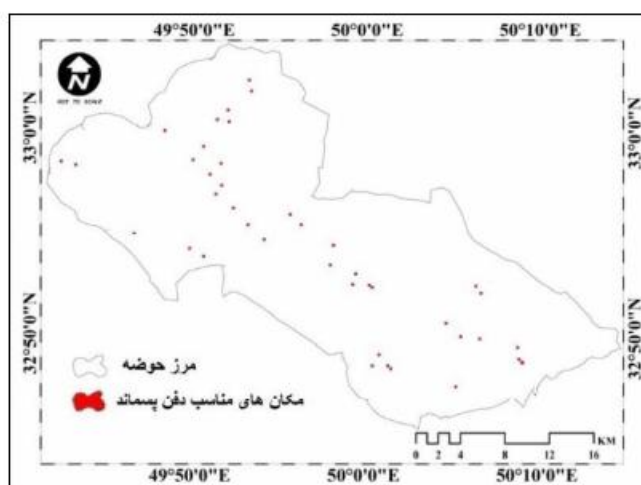
شهرستان فردوس شهر با ارتفاع میانگین ۲۵۰۰ متر از سطح دریا منطقه‌ای کوهستانی است که به صورت زیانه‌ای در میان استان‌های لرستان، خوزستان و چهارمحال و بختیاری واقع شده است. این منطقه در بالاترین بخش‌های حوضه آبریز دو روودخانه بزرگ ایران یعنی زاینده‌رود و کارون واقع است. به طور کلی این شهرستان دارای ۵ دهستان است که عبارت‌اند از: آبیار، عشاير، پیشکوه موگوبی، پشتکوه موگوبی و چشمۀ لنگان که هر کدام از این دهستان‌ها شامل تعداد زیادی روستاست.

با توجه به ویژگی‌های هیدرولوژیکی، زمین‌شناسی، انسانی و زئومورفوژئیکی محدوده مطالعاتی و اهداف طرح زیری شده، من توان گفت که پارامترهای استفاده شده در مکان‌یابی پهن‌بندی دفن زیاله متفاوت است. این پژوهش مهم‌ترین عوامل مؤثر را مدنظر قرار داده است. بدین‌منظور براساس تفسیر تصاویر ماهواره‌ای، عکس‌های هوایی و مطالعات میدانی، ۱۲ عامل اولیه مؤثر در پهن‌بندی دفن زیاله در منطقه شامل لیتوژئی (شکل ۲)، کاربری اراضی (شکل ۶)، شبب (شکل ۳)، جهت شبب (شکل ۱۰)، ارتفاع (شکل ۵)، بارش (شکل ۷)، فاصله از گسل (شکل ۹)، فاصله از جاده (شکل ۱۱)، فاصله از آبراهه (شکل ۸)، فاصله از مناطق مسکونی (شکل ۴)، بافت خاک (شکل ۱۲) و سطح آب زیرزمینی (شکل ۱۲) شناسایی شدند. نقشه‌های پایه استفاده شده در این تحقیق عبارت‌اند از: نقشه زمین‌شناسی در مقیاس ۱:۱۰۰۰۰، عکس‌های هوایی در مقیاس ۱:۲۰۰۰۰، نقشه توپوگرافی با مقیاس ۱:۱۰۰۰، تصاویر ماهواره‌ای ETM+ همچنین با استفاده از آمار بارندگی ایستگاه‌های باران‌سنگی، نقشه همباران تهیه شد. نقشه‌های مربوط به عوامل مؤثر ذکر شده در محیط نرم‌افزار ArcGIS10.2 تهیه و برای پردازش آماده شدند. از نقشه توپوگرافی ۱:۵۰۰۰۰ برای تهیه نقشه مدل رقومی ارتفاعی<sup>۱</sup> با پیکسل‌های ۳۰×۳۰ متر استفاده شد. براساس نقشه رستری مدل رقومی ارتفاعی، نقشه طبقات ارتفاعی، درجه و جهت شبب تهیه شد. با اعمال فرمول گرادیان بارندگی

**کلوبرد شبکه عصبی پرسپترون چندلایه ...**  
**علیرضا عرب عامری و همکاران**



نمودار ۱. ساختار شبکه عصبی پرسپترون چندلایه



نمودار ۲. نقشه مکان های مناسب دفع پسماند

زمان و جلوگیری از این مشکل فوکبرازشی متغیرهای استفاده شده به سه دسته شامل نظارت بر آموزش، دسته آموزش و دسته صحت سنجی تقسیم شد. از ۴۲ نمونه پیکسل (نمودار ۲) شامل مناطق مستعد دفن پسماند در شبکه پیشنهادی، ۶۰ درصد از داده ها در آموزش شبکه، ۲۰ درصد به منظور اختبار سنجی که نرم افزار به منظور کالیبره کردن مدل استفاده می کند و در نهایت ۲۰ درصد باقیمانده به منظور ارزیابی و نتیجه گیری استفاده شد (نوری و همکاران، ۱۳۸۸). برای ورود داده ها در شبکه عصبی از معادله ۱ استفاده شده است.

$$F(X_i) = \frac{1}{1 + e^{-x_i}} \quad (1)$$

در معادله بالا،  $x_i$ : داده های استفاده شده در هر مرحله از

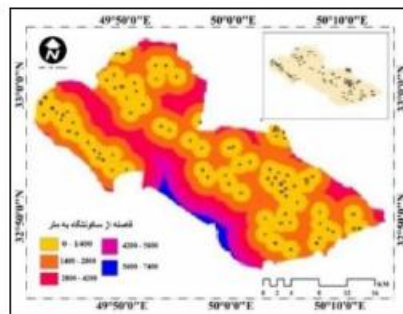
مهم ترین موضوع در آموزش پرسپترون چندلایه برای پیش بینی، عملکرد تعمیم است. پرسپترون چندلایه مانند دیگر روش های تعمیمی غیرخطی انعطاف پذیر دچار مشکل فوکبرازش است و در این شرایط خطای بین نتایج آموزش و تست شروع به افزایش می کند. برای حل این مشکل، رویکرد آموزش توقف<sup>۱</sup> استفاده می شود. در این روش اطلاعات به سه بخش تقسیم می شوند. بخش نخست به آموزش شبکه مربوط است، بخش دوم برای متوقف کردن محاسبات وقتی که خطای شروع به افزایش می کند و بخش سوم برای راستی آزمایی شبکه است (Jalili Ghazi Zade & Noori, 2008; Huang, et al., 2002; Kiartzis, et al., 1995).

میانگین داده‌ها،  $X_{\max}$ : مقدار بیشینه و  $X_{\min}$ : مقدار کمینه است. برای صحت‌سنجی شبکه از شاخص‌های آماری میانگین مربعات خطأ، جذر میانگین مربعات خطأ و ضریب همبستگی<sup>۷</sup> استفاده شد (معادلات ۵-۳).

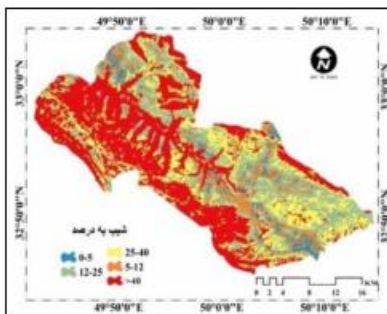
اجرای شبکه است. همچنین، برای استفاده از داده‌ها در شبکه با تابع فعالیت سیگموئید لگاریتمی، کلیه داده‌ها قبل از اعمال به شبکه با استفاده از معادله ۲ نرمالیزه شدند:

$$X_n = \frac{X_0 - X_{\min}}{X_{\max} - X_{\min}} \quad (2)$$

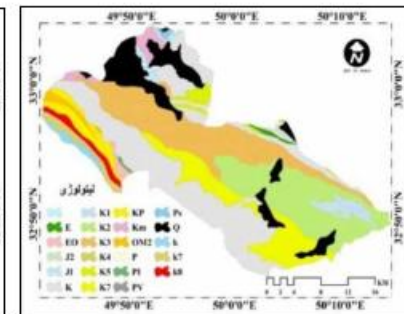
که در آن  $X_n$ : مقدار نرمال شده،  $X_0$ : ورودی،  $X_{\min}$  و  $X_{\max}$



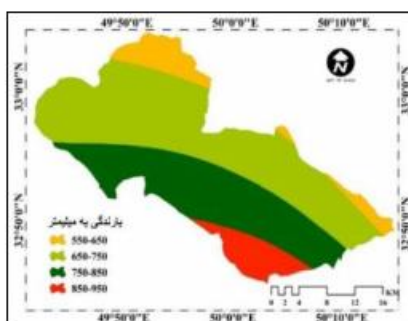
شکل ۲. نقشه فاصله از سکوتگاه



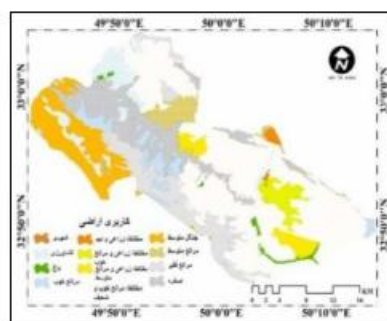
شکل ۳. نقشه شیب



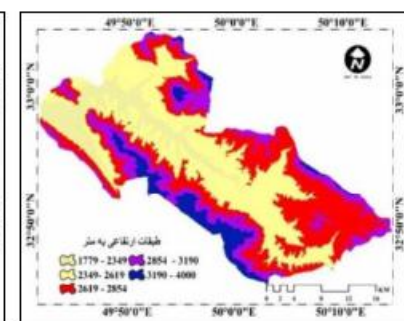
شکل ۴. نقشه لیتوژوژی



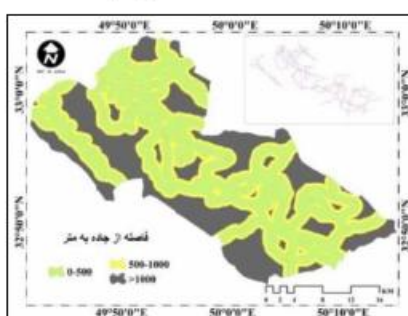
شکل ۵. نقشه همبارش



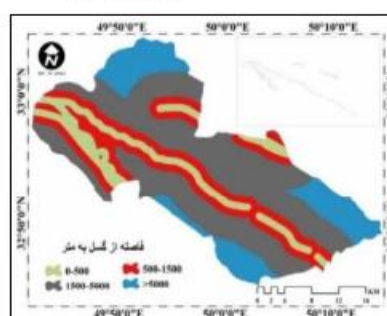
شکل ۶. نقشه کاربوری اراضی



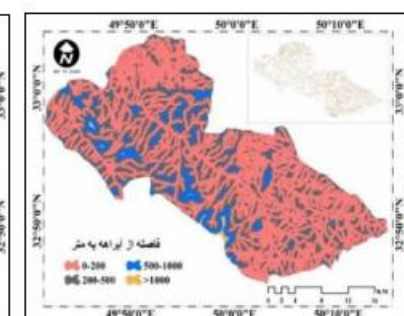
شکل ۷. نقشه طبقات ارتفاعی



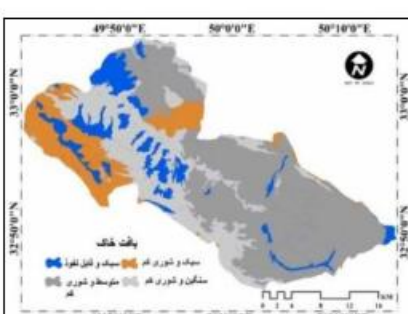
شکل ۸. فاصله از جاده



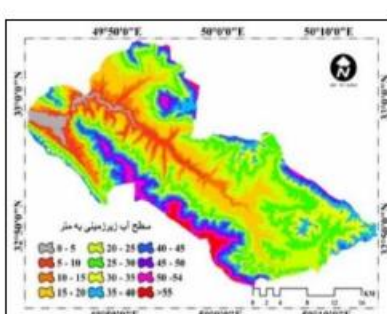
شکل ۹. فاصله از کنالهای آبرهای



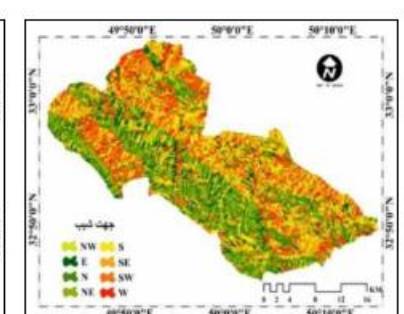
شکل ۱۰. فاصله از آبراهه



شکل ۱۱. نقشه بافت خاک



شکل ۱۲. نقشه سطح آب زیرزمینی



شکل ۱۳. نقشه جهت شیب

حاصل می شود که شبکه عصبی بهترین پردازش را با کمترین خطای انجام دهد. مطلوب بودن لایه پنهان را می توان با ایجاد رگرسیون خطی بین مقادیر محاسبه شده و اندازه گیری و در قالب شاخص ضریب همبستگی و میزان خطای شبکه ارزیابی کرد. روش های یادگیری شبکه MLP بر پایه الگوریتم یادگیری پس انتشار خطا (BP) است. سه الگوریتم یادگیری بدین منظور وجود دارد (Noori, et al., 2011; Noori, et al., 2010). شبکه با ضریب یادگیری ساده (trainbp)، شبکه با ضریب یادگیری متغیر (trainbpx) و شبکه MLP که از روش لوبرگ-مارکوات (trainlm) استفاده می کند. در این پژوهش از الگوریتم (trainbp) به دلیل همگراشدن و خطای بالا صرف نظر شد، از الگوریتم (trainbpx) با وجود آنکه مدت زمان آموزش کمتر است به علت خطای بالا در مرحله آموزش استفاده نشد. با توجه به مواردی که ذکر شد از الگوریتم (trainbpx) که تغییرات ضریب یادگیری به صورت دینامیک است استفاده شد (شکل ۱۴). نتایج عملکرد شبکه با استفاده از الگوریتم های بالا در جدول ۱ نشان داده شده است.

$$MSE = \frac{\sum_{i=1}^n (d_i - y_i)^2}{N} \quad (3)$$

$$RMSE = \sqrt{\frac{\sum_{i=1}^n (obs-pre)^2}{n}} \quad (4)$$

$$R^2 = \frac{\sum_{i=1}^n (obs-pre)^2}{\sum_{i=1}^n (obs-obs)^2 + \sum_{i=1}^n (pre-pre)^2} \quad (5)$$

که در آن  $d_i$ : خروجی مطلوب از داده های آم،  $y_i$ : خروجی شبکه از داده های آم و  $N$ : تعداد داده هاست.  $obs$ : مقادیر مشاهده ای،  $pre$ : میانگین مقادیر مشاهده ای و  $(obs-pre)$ : میانگین مقادیر پیش یابی شده.  $R^2$ : میانگین مقادیر پیش یابی شده از طریق شبکه مدل و  $N$ : تعداد کل داده ها در هر مرحله از آزمون های آموزش و آزمایش است. هرچه مثلاً RMSE به صفر و مقدار  $R^2$  به یک نزدیک باشد، نشان دهنده نزدیک بودن مقادیر مشاهده و پیش یابی شده به یکدیگر و دقیق ترین جوابها در هر مرحله است (Ho, 2002).

### ۳. نتایج

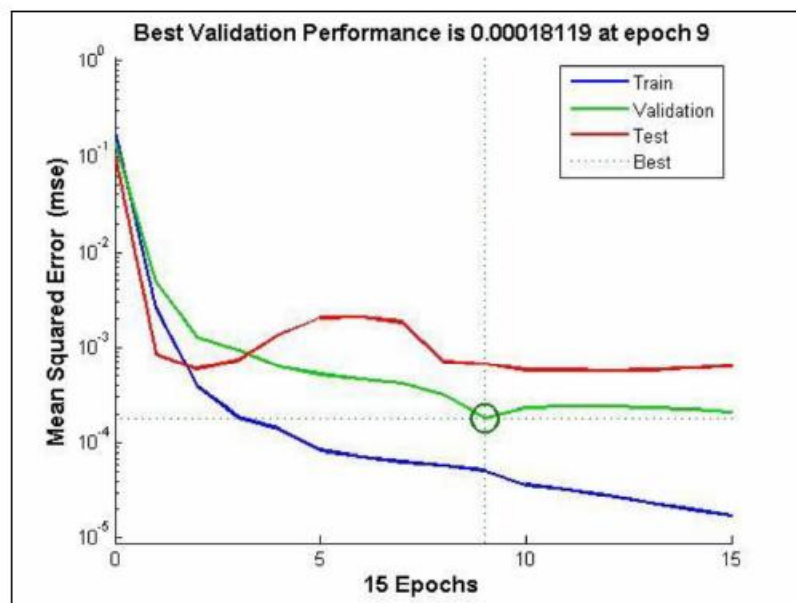
آموزش مدل های شبکه عصبی بر مبنای سعی و خطای پایه ریزی شده است، به طوری که آرایش بهینه شبکه با تغییر تعداد لایه های پنهان و نرون های آن، نوع تابع متغیر الگوریتم آموزشی و تعداد تکرار مرحله آموزش به منظور محاسبه عامل خروجی به دست می آید. مدل بهینه زمانی

جدول ۱. مقایسه نتایج الگوریتم های مختلف شبکه عصبی با ساختار های مختلف

نوع الگوریتم	شماره شبکه	ساختار بهینه	MSE	RMSE	R2	آزمون آموزش	آزمون آزمون	
			۰/۹۲۳	۰/۹۱۱	۰/۸۸۰	۰/۸۸۴	۷-۳-۱	ANN 1
			۰/۸۷۲	۰/۸۷۰	۰/۹۶۱	۰/۹۶۵	۷-۴-۱	ANN 2
			۰/۹۲۳	۰/۹۴۲	۰/۹۷۱	۰/۹۷۲	۷-۵-۱	ANN 3
			۰/۷۲۸	۰/۷۱۳	۰/۹۷۴	۰/۹۷۹	۷-۶-۱	ANN 4
			۰/۱۰۸۲۲	۰/۱۰۸۱۲	۰/۹۸۰	۰/۹۸۶	۷-۷-۱	ANN 5
			۰/۱۰۸۱۴	۰/۱۰۷۲۸	۰/۹۹۰	۰/۹۹۱	۷-۸-۱	ANN 6
			۰/۱۰۷۱۱	۰/۱۰۶۱۲	۰/۹۹۱	۰/۹۹۲	۷-۹-۱	ANN 7
			۰/۱۰۳۸۹	۰/۱۰۳۳۲	۰/۹۹۲	۰/۹۹۳	۷-۱۰-۱	ANN 8
			۰/۱۰۱۹۸	۰/۱۰۱۲۱	۰/۹۹۸	۰/۹۹۷	۷-۱۱-۱	ANN 9
			۰/۱۰۰۸۹	۰/۱۰۰۸۱	۰/۹۹۸	۰/۹۹۹	۷-۱۲-۱	ANN 10

## ادامه جدول ۱

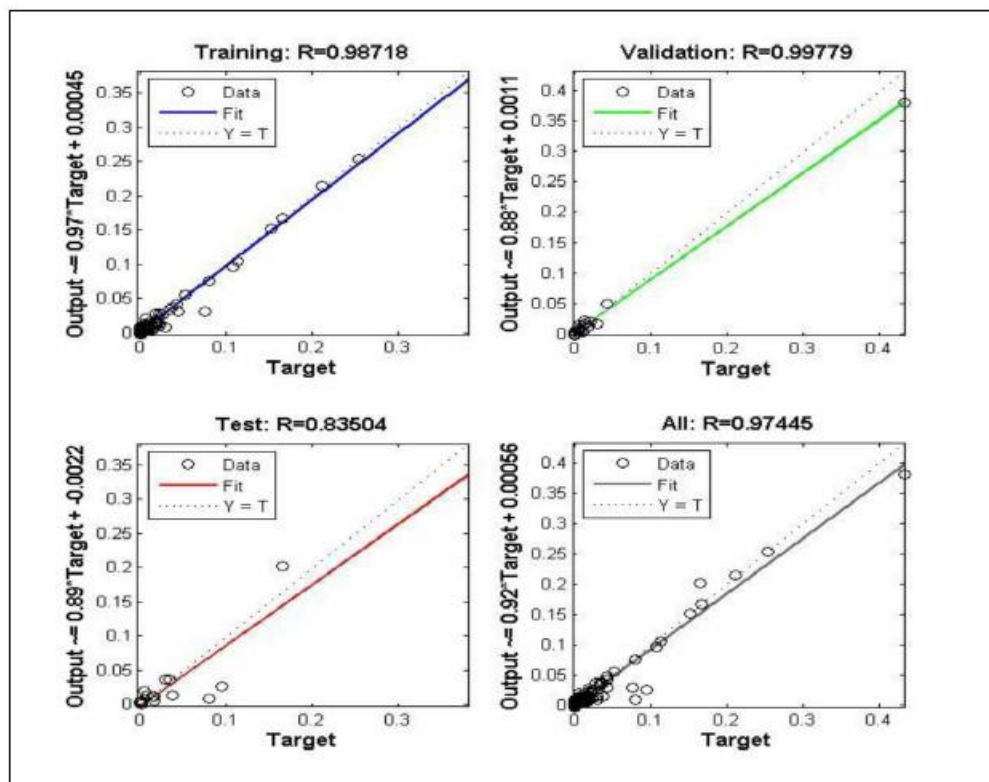
MSE		RMSE		R2		ساختار بهیله	شماره شبکه	نوع الگوریتم
آزمون	آموزش	آزمون	آموزش	آزمون	آموزش			
۰/۹۹۱	۰/۹۸۰	۰/۹۱	۲/۲۳	۰/۸۱۹	۰/۸۲۲	7-3-1	ANN 1	
۰/۹۹۰	۰/۹۹۲	۰/۱۹	۲/۸۹	۰/۸۰۰	۰/۸۰۸	7-4-1	ANN 2	
۰/۹۹۸	۰/۹۲۱	۲/۱۰	۳/۲۱	۰/۸۷۸	۰/۸۸۱	7-5-1	ANN 3	
۰/۹۰۱	۰/۸۹۲	۲/۷۸	۲/۹۵	۰/۹۱۸	۰/۹۲۱	7-6-1	ANN 4	trainbp
۰/۸۹۴	۰/۸۸۱	۲/۹۳	۲/۹۲	۰/۹۴۰	۰/۹۴۸	7-7-1	ANN 5	
۰/۸۹۷	۰/۸۷۷	۲/۴۸	۲/۰۷	۰/۹۶۰	۰/۹۶۳	7-8-1	ANN 6	
۰/۹۹۴	۰/۰۸۹	۲/۳۶	۱/۹۸	۰/۹۸۸	۰/۹۸۱	7-9-1	ANN 7	
۰/۹۱۹	۰/۰۷۸	۲/۰۹	۱/۷۸	۰/۹۷۱	۰/۹۷۷	7-10-1	ANN 8	
۰/۱۹۷	۰/۱۱۱	۲/۰۱	۱/۰۳	۰/۹۷۸	۰/۹۸۲	7-11-1	ANN 9	
۰/۰۹۶۴	۰/۰۹۱۱	۲/۳۹	۱/۰۹	۰/۹۸۱	۰/۹۸۷	7-12-1	ANN 10	
۰/۹۰۵	۰/۹۴۰	۴/۹۳	۴/۸۰	۰/۸۵۱	۰/۸۵۷	7-3-1	ANN 1	
۰/۹۱۲	۰/۸۹۷	۴/۹۱	۴/۸۱	۰/۹۰۲	۰/۹۱۷	7-4-1	ANN 2	
۰/۹۴۹	۰/۸۸۰	۴/۷۱	۴/۲۴	۰/۹۳۹	۰/۹۴۹	7-5-1	ANN 3	
۰/۸۹۲	۰/۸۷۹	۴/۷۷	۴/۱۱	۰/۹۰۹	۰/۹۰۷	7-6-1	ANN 4	trainbp
۰/۹۴۵	۰/۳۱۸	۴/۸۴	۱/۹۸	۰/۹۷۱	۰/۹۷۰	7-7-1	ANN 5	
۰/۰۹۹۳	۰/۰۹۰۴	۴/۸۱	۱/۱۰	۰/۹۸۱	۰/۹۸۴	7-8-1	ANN 6	
۰/۰۹۹۲	۰/۰۹۰۹	۴/۰۱	۱/۱۱	۰/۹۸۵	۰/۹۸۷	7-9-1	ANN 7	
۰/۰۹۸۷	۰/۰۹۱۲	۴/۰۷	۱/۰۹	۰/۹۸۷	۰/۹۸۸	7-10-1	ANN 8	
۰/۰۹۳۱	۰/۰۹۲۱	۰/۹۴	۰/۱۰	۰/۹۹۲	۰/۹۹۴	7-11-1	ANN 9	
۰/۰۱۹۴	۰/۰۱۳۲	۰/۰۵	۰/۰۱	۰/۹۹۰	۰/۹۹۷	7-12-1	ANN 10	



شکل ۱۴. پرازش تعداد دفعات تکرار در شبکه عصبی

یافت. همچنین، مقدار موسمت نیز  $0/97$  در نظر گرفته شد مطلبی که در کار با شبکه عصبی از اهمیت بالایی برخوردار است، جلوگیری از یادگیری بیش از حد شبکه است، زیرا در این حالت شبکه به جای یادگیری و درک روابط بین پارامترها شروع به از برگردان اطلاعات می‌کند (Gomez, et al, 2002). برای جلوگیری از این خطأ بایستی در تکرارهای مشخصی شبکه را با اطلاعات دیگری آزمایش کرد، در اینجا باید با کاهش میزان خطأ در مرحله آموزش، میزان خطأ در مرحله آزمایش نیز کاهش یابد. با بررسی پاسخ‌های خروجی شبکه عصبی مصنوعی در مرحله آزمایش، مشخص شد که شبکه عصبی ایجاد شده قادر است براساس پارامترهای ورودی با دقت  $0/99$  مقادیر پهنگندی برای هر یک از پیکسل‌ها را تخمین بزند (شکل ۱۵).

شبکه پیشنهادی در این پژوهش با استفاده از توابع آموزش مختلف و تعداد لایه‌ها و نرون‌های مختلف با استفاده از آزمایش و خطأ انتخاب شد. نتایج جدول ۱ بیانگر این است که با افزایش تعداد لایه‌های اطلاعاتی میزان توانایی شبکه برای پهنگندی افزایش می‌یابد، به گونه‌ای که با افزایش تعداد این عوامل از  $3$  به  $12$  عامل میزان  $R^2$  از  $0/884$  به  $0/999$  افزایش و مقدار RMSE از  $3/12$  به  $1/11$  کاهش یافته. میزان MSE نیز به میزان قابل توجهی کاهش یافت. بنابراین، در این پژوهش لایه ورودی  $12$  نرون دارد که بیانگر تعداد عوامل مؤثر است و لایه میانی شامل  $7$  نرون است که تعداد آن از طریق آزمون سعی و خطأ تعیین شد و لایه خروجی شامل یک نرون است که خروجی بین صفر و یک تولید می‌کند. ضریب یادگیری که میزان تغییر وزن‌ها را در کنترل دارد، از  $1/1$  تا  $0/8$  بررسی شد و با  $0/5$  شبکه به بهترین یادگیری دست



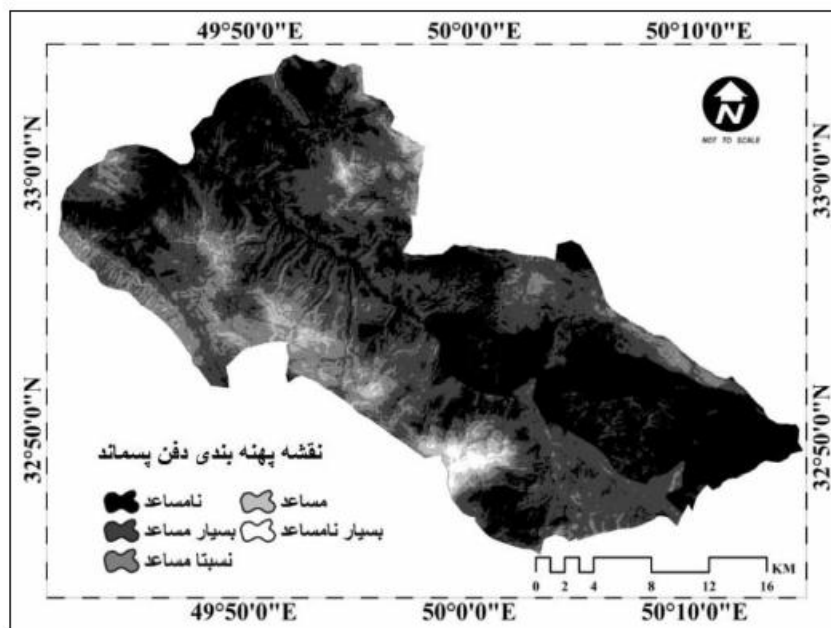
شکل ۱۵. ضریب همبستگی در مراحل آموزش، صحبت‌سنجی، آزمایش و شرکت کلیه داده‌ها در شبکه

شبکه، کل منطقه که مشتمل بر ۹۶۸۹۷ پیکسل بود در اختیار شبکه قرار گرفت، خروجی‌ای که از این شبکه به دست می‌آید بین صفر و یک قرار دارد. این بازده به ۵ گروه با اختلاف ۰/۲ تقسیم شد. نتیجه این تقسیم‌بندی مشخص‌شدن ۵ منطقه از خیلی مساعد تا خیلی نامساعد است (شکل ۱۶ و جدول ۲).

بعد از مشخص کردن ساختار اصلی شبکه عصبی با ۱۲ لایه ورودی و ۷ لایه پنهان و فراهم آوردن اطلاعات موردنیاز برای آموزش شبکه اصلی، همچنین رسیدن به خطای قابل قبول، شبکه آماده شده است تا تحلیل مناطق را که قبلًا با آن مواجه نشده است انجام دهد. بدین‌منظور با در دست داشتن وزن مرحله پایانی مربوط به آموزش

جدول ۲. مقادیر پهنمهای دفن پسماند

مبانی تقسیم‌بندی	۰/۲-۰	۰/۴-۰/۲	۰/۶-۰/۴	۰/۸-۰/۶	۱-۰/۸
کلام پنهان	بسیار مساعد	نامساعد	نسبتاً مساعد	مساعد	بسیار مساعد
درصد پنهان	۵	۳۸	۱۲/۶	۷/۲	۳۷/۲
مساحت پنهان به هکتار	۳۸۸۲/۳	۲۹۵۰/۵۴۸	۹۷۸۳/۳۹	۵۵۹۰/۵۱	۲۸۸۴/۳۱



شکل ۱۶. نقشه پهنمهای دفن پسماند

برای این مهم از ضروریات طرح‌های توسعه شهری برای نیل به توسعه پایدار است (پوراحمد و همکاران، ۱۳۸۹). از چالش‌انگیزترین یخش‌های سیستم مدیریت پسماند، انتخاب مکان مناسب دفع پسماند است. آلودگی پسماند جامد، همانند دیگر مشکلات محیطی مشکل جدی در فریدون‌شهر قلمداد می‌شود. علی‌چند دهه اخیر، منطقه مورد مطالعه افزایش قابل ملاحظه تولید پسماند جامد را

۳. پژوهش و نتیجه‌گیری  
یکی از مشکلات عمدۀ جوامع انسانی، تولید انواع مواد جامد در کیفیت‌ها و کمیت‌های مختلف و دفع آن‌هاست. بنابراین، امروزه چگونگی دفع و معادوم‌سازی آن به دغدغه محیط‌زیست شهری تبدیل شده است. مکان‌یابی و مدیریت صحیح محل دفن زیاله به متزله یکی از ارکان رسمی توسعه پایدار محسوب می‌شود، به طوری که یافتن محل مناسب

که اهمیت دوم را در مطالعه خود به این مورد اختصاص داد. Azizi و همکاران (۲۰۱۸) در مطالعه خود در مالزی، لایه کاربری اراضی را بهمنزله مهم‌ترین لایه در کار خود انتخاب کردند. Nishanth و همکاران (۲۰۱۰) در امریکا فاکتورهای بسیاری را در کار خود در نظر گرفتند و آن‌ها را به طبقات مختلفی تقسیم کردند. آن‌ها لایه فاصله از سکونتگاه را بهمنزله مهم‌ترین پارامتر در انتخاب مکان دفن زیاله معرفی کردند. Cao و همکاران (۲۰۰۶) نیز در چین، در مطالعه‌ای تحت عنوان انتخاب بهترین مکان دفن زیاله، فاصله از مناطق مسکونی را بهمنزله مهم‌ترین فاکتور در تعیین مکان دفن در نظر گرفتند. در این پژوهش پس از تعیین بهترین ساختار شبکه نقشه پهن‌بندی بهترین مکان برای دفن پس‌ماندهای شهری با استفاده از ۱۲ لایه ورودی در ۵ کلاس تهیه شد. Sehnaz و همکاران (۲۰۱۰) در ترکیه با استفاده از ۹ لایه اطلاعاتی مکان مناسب برای دفن زیاله را تعیین و در نهایت با استفاده از این اطلاعات منطقه مورد مطالعه را به ۴ طبقه مناسب، متوسط، نامناسب و خیلی نامناسب طبقه‌بندی کردند. نتایج نشان داد که ۳۷/۲ درصد (۲۸۸۴/۳۱ هکتار) از مساحت حوضه برای دفن پس‌ماند بسیار مساعد، ۷/۲ درصد (۵۵۹۰/۵۱ هکتار) مساعد، ۱۲/۶ درصد (۹۷۸۳/۳۹ هکتار) نسبتاً مساعد، ۳۸ درصد (۲۹۵۰/۴۸ هکتار) نامساعد و ۵ درصد (۳۸۸۲/۳ هکتار) بسیار نامساعد است. نتایج این پژوهش می‌تواند برای مدیریت بهینه پس‌ماندهای شهری از سوی مدیران و مسئولان شهری استفاده شود.

### پادداشت‌ها

1. Digital elevation mode
2. Multi Layers Perceptron
3. Feed-Forward Backpropagation
4. Sigmoid
5. Mean Squared Normalized Error (MSE)
6. Root Mean Square (RMSE)
7. Random Error (R<sup>2</sup>)
8. Observed
9. Predicted

تجزیه کرده که به طور نامطلوبی روی محیط طبیعی آن تأثیر گذاشته و مشکلات زیبایی‌شناسختی، بهداشتی، اقتصادی، اجتماعی و محیطی را ایجاد کرده است. تحقیق حاضر با هدف توسعه و ارزیابی کارایی مدل پرسپترون چند لایه در انتخاب بهترین مکان برای دفع پس‌ماندهای شهری با استفاده از پارامترهای مؤثر در انتخاب مکان دفع پس‌ماند انجام شد. مقایسه شاخص‌های آماری میانگین مربعات خطأ، جذر میانگین مربعات خطأ و ضریب همبستگی در میان الگوریتم‌های یادگیری پس انتشار خطأ نشان داد که الگوریتم trainlm بهترین کارایی را داشته است. همچنین، نتایج نشان داد که با حذف یک یا چند متغیر ورودی مؤثر در انتخاب مکان مناسب برای دفع پس‌ماندهای شهری تغییراتی در دقت مدل به وجود می‌آید. فاکتورهای بسیار زیادی در مکان‌یابی دفن زیاله می‌تواند مؤثر باشد، اما با توجه به خصوصیات منطقه باید فاکتورهای مناسب تشخیص داده و استفاده شود (Ball & Road, 2005). با توجه به ابزار توامند GIS در تجزیه و تحلیل داده‌ها، با توانایی ایجاد بانک اطلاعاتی مناسب و مؤثر از مناطق موردنظر و توانایی اعمال مدل‌های دلخواه با قابلیت بهروزرسانی اطلاعات و فاکتورهای موردنیاز، می‌توان فاکتورهای مختلفی را در مکان‌یابی دفن زیاله موردنظر قرار داد، اما وزن‌دهی و اولویت‌بندی این فاکتورها نیز از اهمیت بالایی برخوردار است (جیدرزاوه، ۱۳۸۲). نتایج نشان داد که با حذف فاصله از جاده، کاربری اراضی و فاصله از سکونتگاه تغییرات شدیدی در ضریب همبستگی ایجاد می‌شود و ضریب همبستگی را کاهش می‌دهد و میزان RMSE و MSE نیز افزایش می‌یابد، به عبارت دیگر این سه عامل بیشترین تأثیر را در انتخاب مکان مناسب دفن زیاله داشته‌اند. نتایج این پژوهش با نتایج Nishanth و Cao (۲۰۱۰) مطابقت دارد. اکبری (۱۳۸۹) با استفاده از روش AHP پیشنهاد کرد که شبکه دسترسی یا همان جاده‌های اصلی و فرعی دارای اهمیت بالایی در انتخاب مکان مناسب دفن زیاله است، به طوری

## منابع

- اکبری، د. ۱۳۸۹. «تیمین محل‌های مناسب جهت تخلیه زباله با استفاده از سیستم اطلاعات مکانی»، اولین کنفرانس ملی ژئوماتیک نوین در خدمت جامعه، چکیده مقالات اولین کنفرانس ملی ژئوماتیک نوین در خدمت جامعه، تهران.
- پوراحمد، ا، حبیبی، ک، ذهابی، م، نظری عدلی، س، ۱۳۸۶. «استفاده از الگوریتم فازی و GIS برای مکان‌یابی تجهیزات شهری (مثاله موردی: شهرستان بابلسر)»، مجله محیط‌شناسی، سال سی و سوم، شماره ۴۲، صص ۳۱-۴۲.
- حیدرزاده، ن. ۱۳۸۲. «معیارها و ضوابط مکان‌یابی محل دفن مواد زائد چامد»، سازمان شهرداری‌ها و دهداری‌ها، ۷۰ صفحه.
- عبدلی، م.ع، نوری، ر، ا، جلیلی، م، صالحیان، ا. ۱۳۸۲. «پیش‌بینی زباله‌های تولیدی تهران با استفاده از شبکه عصبی مصنوعی و روش‌های آماری چندمتغیره»، مجله مدیریت پسماندها، شماره ۸، صص ۲۲-۳۸.
- شورتزاد، غ، طاهری، م، عباسپور، ر.ع. ۱۳۹۲. «به کارگیری فرایند تحلیل شبکه‌ای فازی (Fuzzy ANP) در شناسایی مکان بهینه ایستگاه‌های انتقال پسماند در شهرستان اصفهان»، مجله محیط‌شناسی، شماره ۲۷، صص ۱۷۷-۱۶۵.
- نوری، ر، ا، عبدالی، م.ع، فرج‌نیا، ا، قائمی، ا. ۱۳۸۸. «پیش‌بینی هفتگی زباله تولیدی با استفاده از مدل ترکیبی شبکه عصبی و تبدیل موجک»، مجله محیط‌شناسی، شماره ۲۹، صص ۳۰-۲۵.
- Allen, A.R., Dillon, A.M. and Brien, O. M. 1997. Approaches to landfill site selection in Ireland. *Engineering Geology and the Environment*. Balkema. Rotterdam, 1569-1574.
- Azizi, M.D., Zurina, W.W.J., Kev, M. O. and Wan Muhd, A.W. 2008. How GIS can be a useful tool to deal with landfill site selection. International Symposium on Geo informatics for spatial infrastructure. Develop in earth and Allied sciences.
- Ball, J.M., and Road, L. 2005. Landfill site selection. Tenth International Waste Management and landfill symposiums. 1250 -1261.
- Cao, l., yunhuan, C.H., Jingzhang Xiao, z. and Cui, x. 2006. Application of Gray situation Decision Making Theory in site selection of a waste sanitary landfill, china of university of mining and technology16, 393 -398.
- Chandak, S. 2010. Community-based Waste Management and Composting for Climate/Co-benefits – Case of Bangladesh (2d) presented at the International Consultative Meeting on expanding Waste Management Services in Developing Countries, 18-19.
- Chalmin, P. and Gaillochet, C. 2009. From Waste to Resource, An Abstract of World Waste Survey, Cyclope, Veolia Environmental Services, Edition Economica,France.
- Gomez, H., Kavzoglu, T. and Mather, P. 2002. Artificial neural network application in landslide hazard zonation in the VenezuelanAndes. Abstracts of 15th International Conference on Geomorphology, Tokyo, Japan, 23-28.
- Ho, S.L., Min, X. and Thong Ngee, G. 2002. A comparative study of neural network and Box-Jenkins ARIMA modeling in time series prediction, Computers and Industrial Engineering, 371-375.
- Huang, H.G., Hwang, R.C. and Hsieh, J.G. 2002. A new artificial intelligent peak power load forecaster based on non-fixed neural networks. Electrical Power Energy Syst 24, 245-250.
- Jalili Ghazi Zade, M. and Noori, R. 2008. Prediction of Municipal Solid Waste Generation by Use of Artificial Neural Network: A Case Study of Mashhad. Int. J. Environ. Res 2 (1), 13-22.
- Kiartzis, S.K., Bakirtzis, A.G. and Petridis, V. 1995. Short-term load forecasting using neural networks. Electric Power Syst Res33, 1-6.
- Komilis, D.P., Ham, R.K. and Stedman, R. 1999. The effect of municipal solid waste pretreatment on landfill behavior: a literature review. Waste Management and Research17, 10-19.
- Kuo, J., Chi, C. and Kao, S.A. 2002. decision support system for selecting convenience store location through integration of Fuzzy- AHP and artificial neural network. Computers in Industry47, 199-214.

- Kontos, T., Komilis, P. and Halvadakis, P. 2005. Siting MSW landfills with a spatial multiple criteria analysis methodology. *Waste Management* 25, 818-832.
- Mutluturk, M., and Karaguzel, R. 2007. The landfill area quality (LAQ) classification approach and its application in Isparta, Turkey. *Environmental and Engineering Geosciences* 13, 229 –240.
- Nas, B., Cay, T. and Fatih, I. 2010. Selection of MSW landfill site for Konya, Turkey using GIS and multi-criteria evaluation. *Environ Monit Assess* 160, 491-500.
- Noori, R., Abdoli, M.A., Ameri Ghasrodashti, A. and Jalili Ghazizade, M. 2008. Prediction of Municipal Solid Waste Generation with Combination of Support Vector Machine and Principal Component Analysis: A Case Study of Mashhad, *Environmental Progress & Sustainable Energy* 2, 249-258.
- Noori, R., Abdoli, M.A., Jalili Ghazizade, M. and Samieifard, R. 2009. Comparison of Neural Network and Principal Component-Regression Analysis to Predict the Solid Waste Generation in Tehran, *Iranian Journal of Public Health* 38, 74-84.
- Noori, R., Abdoli, M.A., Farokhnia, A. and Abbasi, M. 2009. Results uncertainty of solid waste generation forecasting by hybrid of wavelet transform-ANFIS and wavelet transform-neural network, *Expert Systems with Applications* 6, 9991-9999.
- Noori, R., Karbassi, A. and Sabahi, M.S. 2010. Evaluation of PCA and Gamma test techniques on ANN operation for weekly solid waste prediction, *Journal of Environmental Management*, 767-771.
- Noori, R., Khakpour, A., Omidvar, B. and Farokhnia, A. 2010. Comparison of ANN and principal component analysis-multivariate linear regression models for predicting the river flow based on developed discrepancy ratio statistic, *Expert Systems with Applications* 37, 5856-5862.
- Noori, R., Karbassi, A., Mehdizadeh, H., Vasali-Naseh, M. and Sabahi, M.S. 2011. A Framework Development for Predicting the Longitudinal Dispersion Coefficient in Natural Streams using an Neural Network, *Environmental Progress and Sustainable Energy* 3, 439- 447.
- Nishanth,T., Prakash, M.N. and Vijith, H. 2010. Suitable site determination for solid waste disposal using GIS and RS techniques in India, *international journal of geometrics and geosciences*. 197 -210
- Reilly, D.L., and Cooper, L.N. 1990. An overview of neural networks: early models to real world systems. In: Zornetzer, S.F., Davis, J.L., Lau, C. (Eds.), *An Introduction to Neural and Electronic Networks*. Academic Press, New York, 227–248.
- Sener, S., Sener, E. and Karagüzel, R. 2010. Solid Waste Disposal Site Selection with GIS and AHP Methodology: A Case Study in Senirkent-Uluborlu (Isparta) Basin, Turkey, *Journal of Environmental Monitoring Assessment* 10, 1010-1023.
- Sehnaz, S., Erhan, S., Bilghan, N. and Remzi, K. 2010. Combining AHP with GIS for landfill site selection. *Waste management* 30, 2037-2041.
- Sharda, R. 1994. Neural networks for the MS / OR analyst: An application bibliography. *Interfaces* 24 , 116–130.